



**VYSOKÉ UČENÍ TECHNICKÉ V BRNĚ**  
BRNO UNIVERSITY OF TECHNOLOGY

**FAKULTA STROJNÍHO INŽENÝRSTVÍ**  
FACULTY OF MECHANICAL ENGINEERING

**ÚSTAV AUTOMOBILNÍHO A DOPRAVNÍHO INŽENÝRSTVÍ**  
INSTITUTE OF AUTOMOTIVE ENGINEERING

**ŠESTIVÁLCOVÝ ŘADOVÝ VZNĚTOVÝ MOTOR S  
VYPÍNÁNÍM VÁLCŮ**

SIX-CYLINDER IN-LINE DIESEL ENGINE WITH CYLINDER DEACTIVATION

**PRÍLOHY K DIPLOMOVEJ PRÁCI**  
MASTER'S THESIS APPENDICES

**AUTOR PRÁCE**  
AUTHOR

Bc. Ivan Novosád

**VEDOUCÍ PRÁCE**  
SUPERVISOR

prof. Ing. Václav Píštěk, DrSc.

BRNO 2020

# **Obsah**

<b>1 Zadané parametre motora .....</b>	<b>4</b>
<b>2 Kinematika kľukového mechanizmu.....</b>	<b>5</b>
<b>2.1 Dráha piestu .....</b>	<b>5</b>
<b>2.2 Rýchlosť piestu .....</b>	<b>5</b>
<b>2.3 Zrýchlenie piestu.....</b>	<b>6</b>
<b>3 Silové pôsobenie v kľukovom mechanizme.....</b>	<b>7</b>
<b>3.1 Priebeh tlaku vo valci.....</b>	<b>7</b>
<b>3.2 Sily v smere osi valca prenášané piestnym čapom.....</b>	<b>7</b>
<b>3.3 Sily prenášané ojnicou v osi ojnice.....</b>	<b>8</b>
<b>3.4 Bočná sila pôsobiaca na piest.....</b>	<b>8</b>
<b>3.5 Sily na ojničnom čape .....</b>	<b>9</b>
<b>3.6 Točivý moment na jednom ojničnom čape .....</b>	<b>10</b>
<b>4 Optimalizovanie tvaru vývažku .....</b>	<b>11</b>
<b>4.1 Východiskový tvar zalomenia .....</b>	<b>11</b>
<b>4.2 Zalomenie A: minimalizácia hmotnosti pri úplnom silovom vyvážení .....</b>	<b>11</b>
<b>4.3 Zalomenie B: minimalizácia hmotnosti.....</b>	<b>11</b>
<b>4.4 Zalomenie C: kompromisný návrh .....</b>	<b>11</b>
<b>4.5 Zalomenie bez vývažkov .....</b>	<b>12</b>
<b>5 Torzné kmitanie kľukového hriadeľa.....</b>	<b>13</b>
<b>5.1 Náhradná torzná sústava kľukového mechanizmu .....</b>	<b>13</b>
<b>5.1.1 Momenty zotrvačnosti .....</b>	<b>13</b>
<b>5.1.2 Redukované momenty zotrvačnosti.....</b>	<b>13</b>
<b>5.1.3 Výpočet redukovaných dĺžok.....</b>	<b>14</b>
<b>5.2 Redukovaná dĺžka predného konca kľukového hriadeľa .....</b>	<b>14</b>
<b>5.3 Redukovaná dĺžka zadného konca kľukového hriadeľa .....</b>	<b>16</b>
<b>5.4 Výpočet torzných tuhostí.....</b>	<b>17</b>
<b>5.5 Vlastné torzné kmitanie sústavy .....</b>	<b>17</b>
<b>5.6 Tvary vlastných torzných výchyliek.....</b>	<b>18</b>
<b>5.6.1 Prvá vlastná frekvencia.....</b>	<b>18</b>
<b>5.6.2 Druhá vlastná frekvencia .....</b>	<b>19</b>
<b>5.7 Vynútené torzné kmitanie .....</b>	<b>20</b>
<b>5.7.1 Fourierova analýza točivého momentu v komplexnom obore .....</b>	<b>20</b>
<b>5.8 Rezonančné otáčky motora .....</b>	<b>21</b>
<b>5.9 Výdatnosť rezonancií pre prvú vlastnú frekvenciu .....</b>	<b>22</b>
<b>5.10 Výdatnosť rezonancií pre druhú vlastnú frekvenciu .....</b>	<b>24</b>
<b>6 Tlmič torzných kmitov .....</b>	<b>26</b>
<b>6.1 Návrh parametrov torzného tlmiča.....</b>	<b>26</b>
<b>6.2 Výpočet vlastnej frekvencie sústavy s tlmičom torzných kmitov .....</b>	<b>26</b>
<b>6.3 Tvary vlastných torzných výchyliek.....</b>	<b>27</b>
<b>6.3.1 Prvá vlastná frekvencia.....</b>	<b>27</b>
<b>6.3.2 Druhá vlastná frekvencia .....</b>	<b>28</b>
<b>6.4 Rezonančné otáčky motora .....</b>	<b>29</b>

<b>7 Pevnostná kontrola kľukového hriadeľa .....</b>	<b>30</b>
<b>7.1 Vlastnosti materiálu 42CrMo4 .....</b>	<b>30</b>
<b>7.2 Výpočet bezpečnosti voči únavovému poškodeniu pre chod motora na 6V .....</b>	<b>30</b>
7.2.1 Stanovenie veličín potrebných pre výpočet bezpečnosti pre chod na 6V .....	30
7.2.2 Súčiniteľ bezpečnosti pre chod motora na 6V .....	31
<b>7.3 Výpočet bezpečnosti voči únavovému poškodeniu pre chod motora na 4V .....</b>	<b>31</b>
7.3.1 Stanovenie veličín potrebných pre výpočet bezpečnosti pre chod na 4V .....	32
7.3.2 Súčiniteľ bezpečnosti pre chod motora na 4V .....	32

# 1 Zadané parametre motora

Polomer zalomenia kľukového hriadeľa	$r := 60 \text{ mm}$
Vŕtanie valca	$D := 105 \text{ mm}$
Nominálne otáčky motora	$n := 2200 \text{ min}^{-1}$
Nominálne otáčky motora v rad/s	$\omega := 2 \cdot \pi \cdot n = 230.383 \frac{\text{rad}}{\text{s}}$
Dĺžka ojnice	$l := 215 \text{ mm}$
Ojničný pomer	$\lambda := \frac{r}{l} = 0.279$
Priemer hlavných čapov	$D_{hc} := 80 \text{ mm}$
Priemer ojničných čapov	$D_{oc} := 66 \text{ mm}$
Dĺžka hlavných čapov	$l_{hc} := 44 \text{ mm}$
Dĺžka ojničných čapov	$l_{oc} := 40 \text{ mm}$
Hmotnosť piestu	$m_p := 1.364 \text{ kg}$
Hmotnosť prvého piestného krúžku	$m_{k1} := 0.025 \text{ kg}$
Hmotnosť druhého piestného krúžku	$m_{k2} := 0.019 \text{ kg}$
Hmotnosť stieracieho piestného krúžku	$m_{k3} := 0.023 \text{ kg}$
Hmotnosť piestného čapu	$m_{cap} := 0.614 \text{ kg}$
Hmotnosť poistného krúžku (potrebné 2ks)	$m_{pk} := 0.005 \text{ kg}$
Hmotnosť piestnej skupiny	$m_{ps} := m_p + m_{k1} + m_{k2} + m_{k3} + m_{cap} + 2 \cdot m_{pk}$ $m_{ps} = 2.055 \text{ kg}$
Hmotnosť posuvného podielu ojnice	$m_1 := 0.907 \text{ kg}$
Hmotnosť rotačného podielu ojnice	$m_2 := 1.645 \text{ kg}$
Poissonova konštanta	$\mu := 0.3$
Modul pružnosti v ťahu	$E := 210 \text{ GPa}$
Modul pružnosti v šmyku	$G := \frac{E}{2 \cdot (1 + \mu)} = 80.769 \text{ GPa}$

## 2 Kinematika kľukového mechanizmu

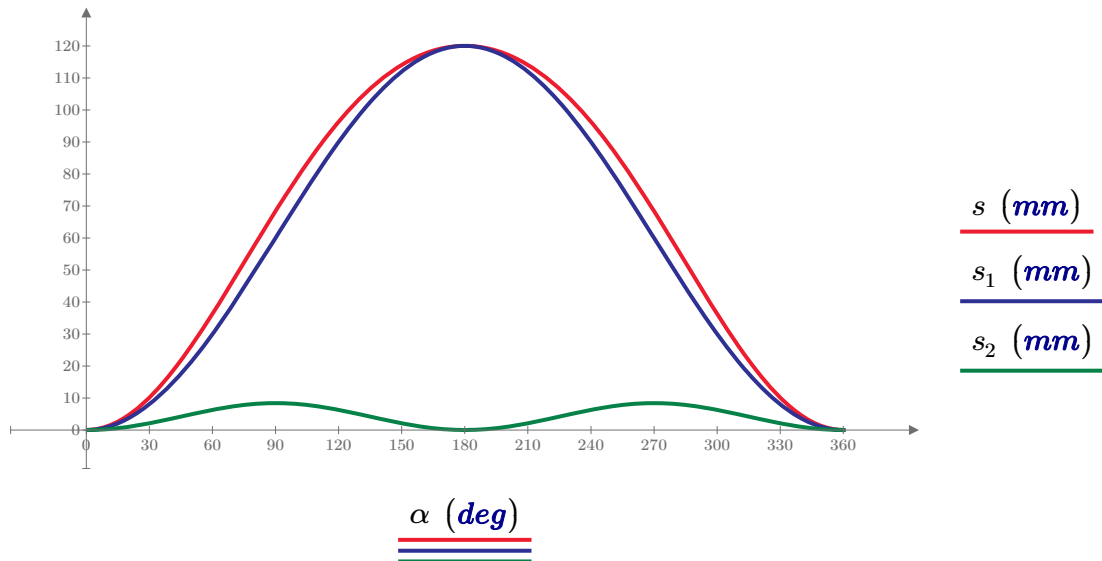
Krok pootočenia kľukového hriadeľa  $krok := 1 \cdot \text{deg}$

$$i := 0 \dots 719$$

$$\alpha_i := i \cdot krok$$

### 2.1 Dráha piestu

Dráha piestu	$s := r \cdot \left( (1 - \cos(\alpha)) + \frac{\lambda}{4} \cdot (1 - \cos(2 \cdot \alpha)) \right)$
Prvá harmonická zložka dráhy piestu	$s_1 := r \cdot (1 - \cos(\alpha))$
Druhá harmonická zložka dráhy piestu	$s_2 := r \cdot \frac{\lambda}{4} \cdot (1 - \cos(2 \cdot \alpha))$

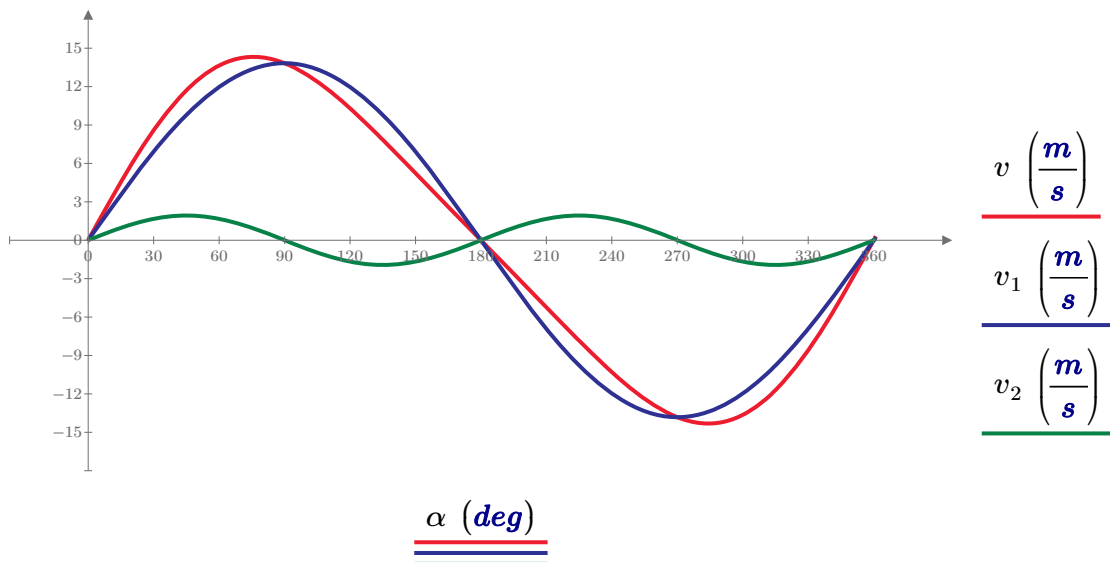


### 2.2 Rýchlosť piestu

Rýchlosť piestu  $v := r \cdot \omega \cdot \left( \sin(\alpha) + \frac{\lambda}{2} \cdot \sin(2 \cdot \alpha) \right)$

Prvá harmonická zložka rýchlosťi piestu  $v_1 := r \cdot \omega \cdot \sin(\alpha)$

Druhá harmonická zložka rýchlosťi piestu  $v_2 := r \cdot \omega \cdot \frac{\lambda}{2} \cdot \sin(2 \cdot \alpha)$



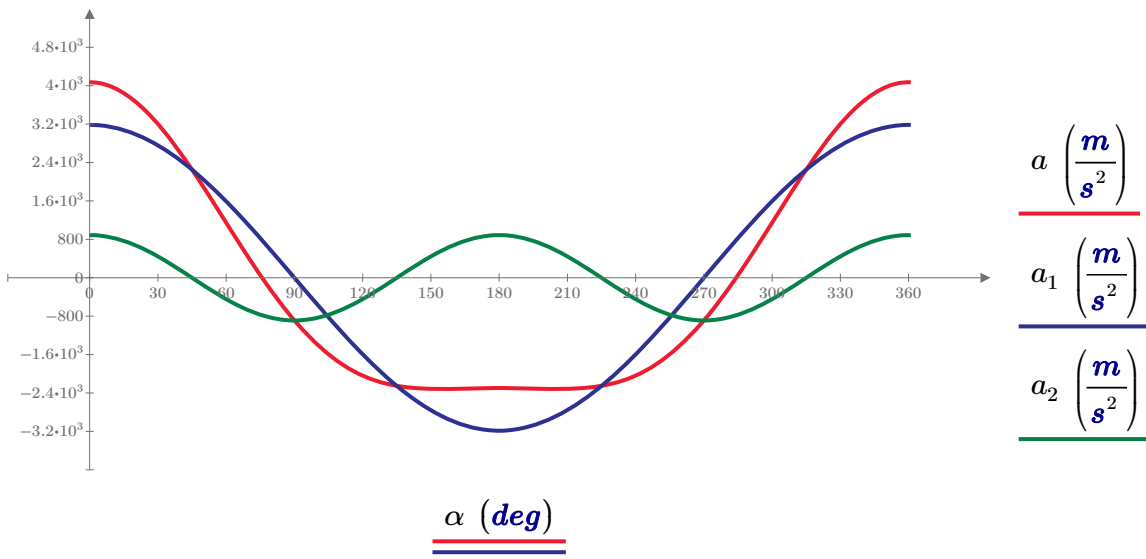
## 2.3 Zrýchlenie piestu

Zrýchlenie piestu

$$a := r \cdot \omega^2 \cdot (\cos(\alpha) + \lambda \cdot \cos(2 \cdot \alpha))$$

Prvá harmonická zložka zrýchlenia piestu  $a_1 := r \cdot \omega^2 \cdot \cos(\alpha)$

Druhá harmonická zložka zrýchlenia piestu  $a_2 := r \cdot \omega^2 \cdot \lambda \cdot \cos(2 \cdot \alpha)$



### 3 Silové pôsobenie v kľukovom mechanizme

#### 3.1 Priebeh tlaku vo valci

Plocha piestu

$$S_p := \frac{\pi \cdot D^2}{4} = 86.59 \text{ cm}^2$$

Načítanie indikátorového diagramu

$P := \text{READEXCEL}(\text{".\p_alfa.xlsx"}, \text{"Hárok1!A1:A720"})$

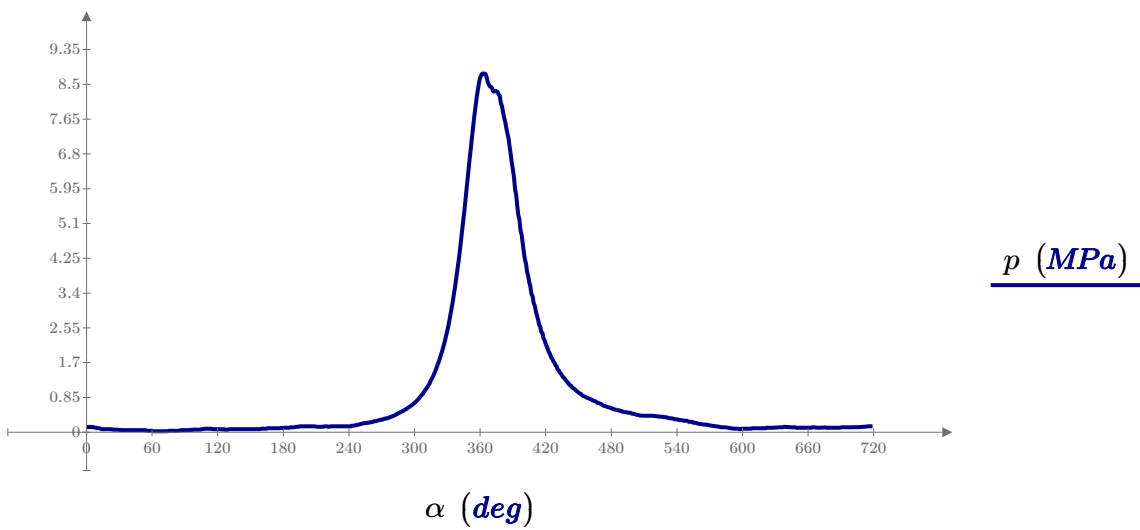
$$i := 0 \dots 719$$

$$\alpha_i := i \cdot \text{deg}$$

$$p_i := P_i \cdot \text{MPa}$$

Atmosférický tlak

$$p_{atm} := 0.1 \text{ MPa}$$



#### 3.2 Sily v smere osi valca prenášané piestnym čapom

Sila od tlaku plynov pôsobiaca na piest

$$F_p := (p - p_{atm}) \cdot S_p$$

Zotrvačné sily piestnej skupiny

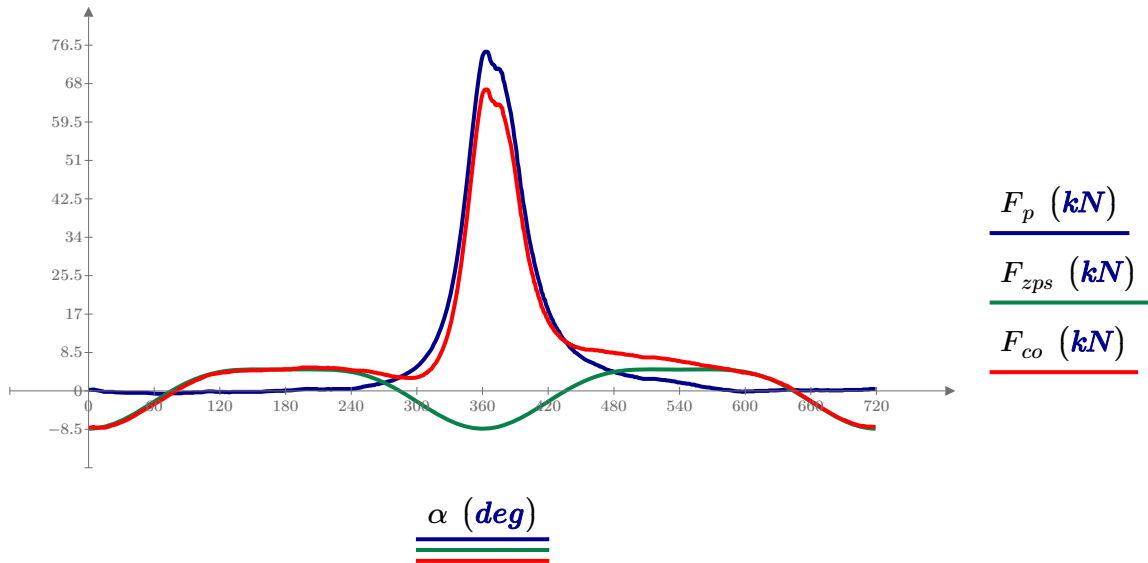
$$F_{zps} := -m_{ps} \cdot a$$

Celkové sily pôsobiace na malé oko ojnice

$$F_{co} := F_p + F_{zps}$$

Maximálna sila od tlaku plynov

$$F_{pmax} := \max(F_p) = 75.03 \text{ kN}$$



### 3.3 Sily prenášané ojnicou v osi ojnice

Odklon ojnice od osi valca

$$\beta_i := \arcsin(\lambda \cdot \sin(\alpha_i))$$

Zotrvačná sila od posuvných častí

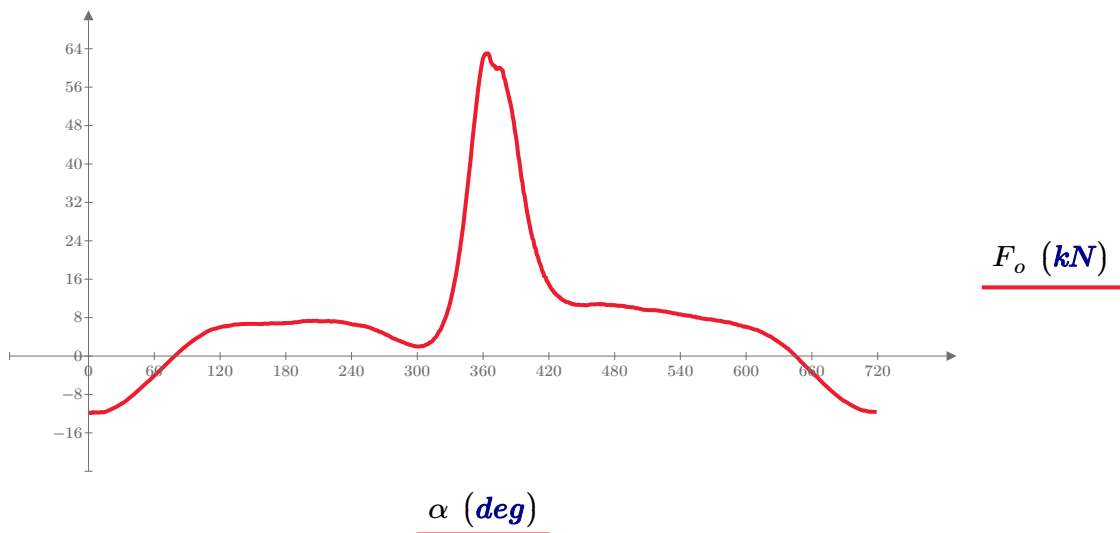
$$F_{zp} := -(m_{ps} + m_1) \cdot a$$

Výsledná sila pôsobiaca na piest

$$F_c := F_p + F_{zp}$$

Celková sila pôsobiaca v osi ojnice

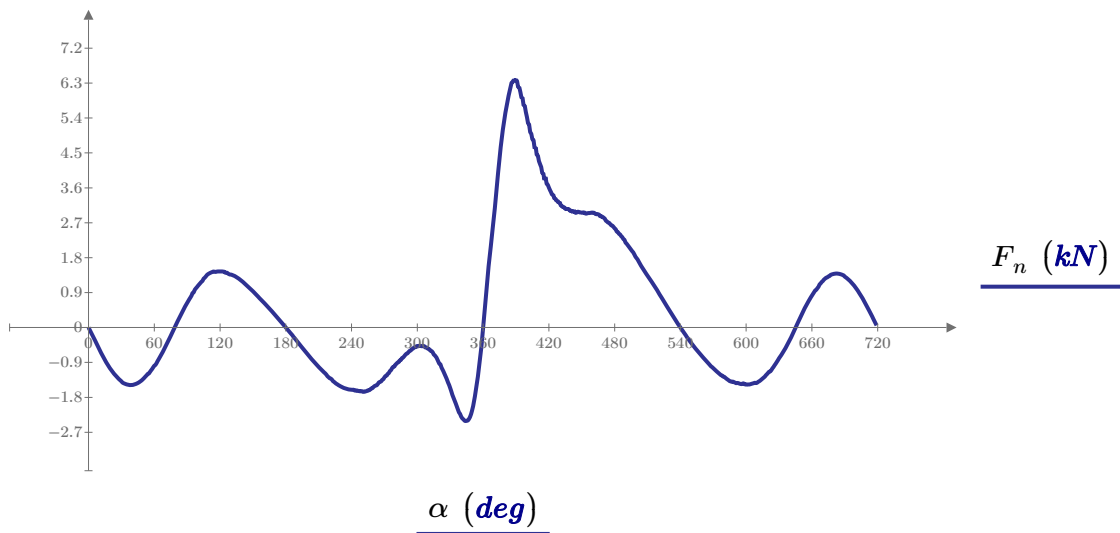
$$F_o := \frac{F_c}{\cos(\beta)}$$



### 3.4 Bočná sila pôsobiaca na piest

Normállová sila na piest

$$F_{n_i} := F_{c_i} \cdot \tan(\beta_i)$$



### 3.5 Sily na ojničnom čape

Radiálna zložka celkovej sily

$$F_{r_i} := -F_{o_i} \cdot \cos(\alpha_i + \beta_i)$$

Tangenciálna sila

$$F_{t_i} := F_{o_i} \cdot \sin(\alpha_i + \beta_i)$$

Zotrvačná sila rotačná pôsobiaca na ojničný čap

$$F_{zro} := m_2 \cdot r \cdot \omega^2 = 5.239 \text{ kN}$$

Celková radiálna sila pôsobiaca na ojničný čap

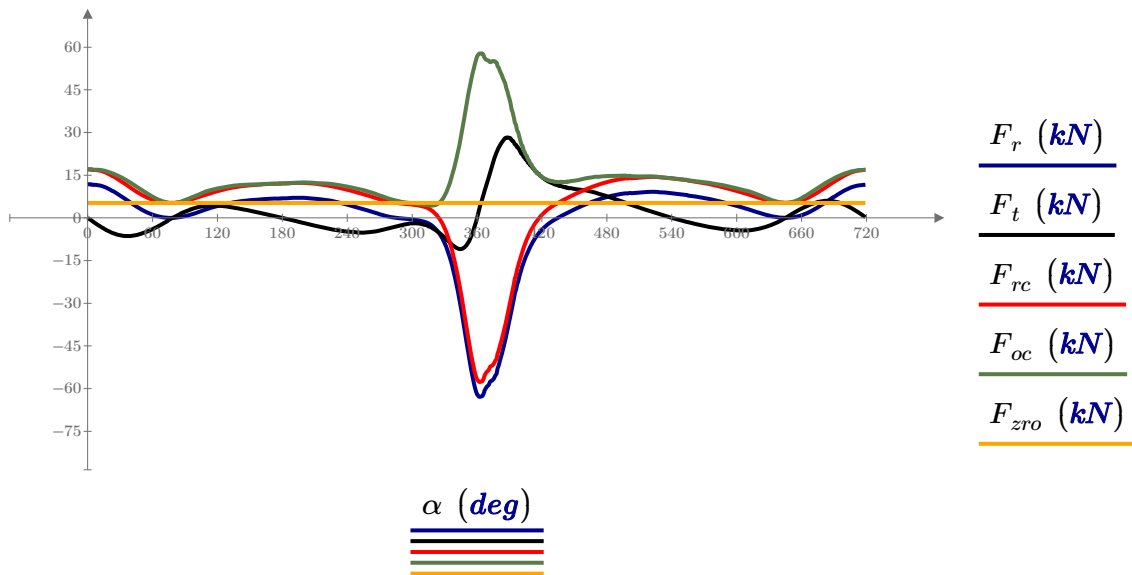
$$F_{rc_i} := F_{r_i} + F_{zro}$$

Celková sila pôsobiaca v ojničnom čape

$$F_{oc} := \sqrt{F_t^2 + F_{rc}^2}$$

(úprava pre vykreslenie konštanty)

$$F_{zro} := \alpha \cdot 0 \cdot \text{kN} + F_{zro}$$



### 3.6 Točivý moment na jednom ojničnom čape

Točivý moment na jednom ojničnom čape

$$M_{t_i} := F_{t_i} \cdot r$$

Najvyššia hodnota točivého momentu na jednom ojničnom čape

$$M_{t_{max}} := \max(M_t) = (1.699 \cdot 10^3) \text{ N}\cdot\text{m}$$

Najnižšia hodnota točivého momentu na jednom ojničnom čape

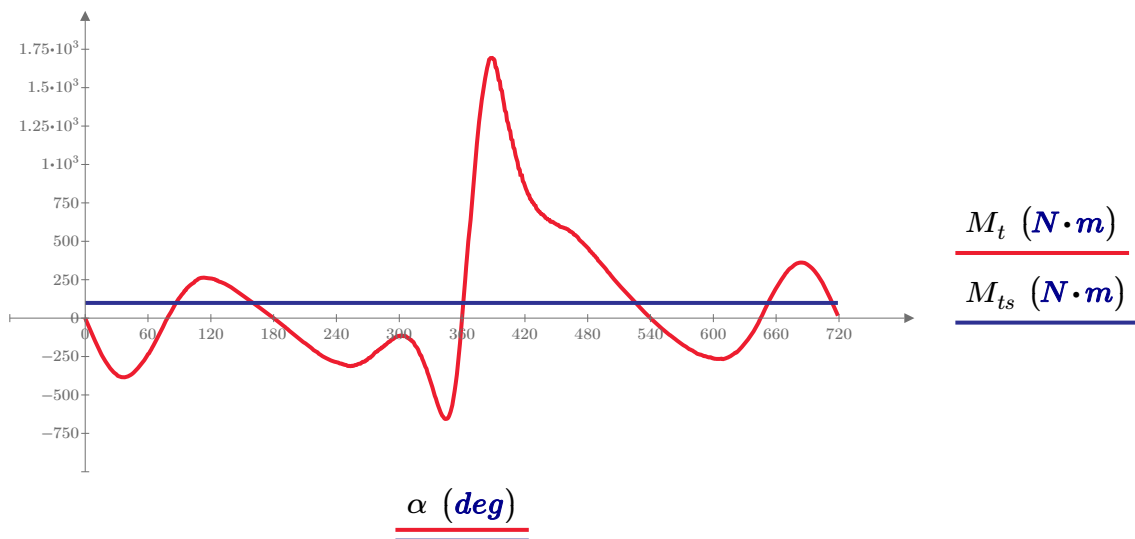
$$M_{t_{min}} := \min(M_t) = -656.614 \text{ N}\cdot\text{m}$$

Stredná hodnota točivého momentu na jednom ojničnom čape

$$M_{ts} := \text{mean}(M_t) = 99.599 \text{ N}\cdot\text{m}$$

(úprava pre vykreslenie konštanty)

$$M_{ts} := \alpha \cdot 0 \cdot \text{N}\cdot\text{m} + M_{ts}$$



## 4 Optimalizovanie tvaru vývažku

### 4.1 Východiskový tvar zalomenia

hmotnosť zalomenia aj s rotačným podielom ojnice	$m_0 := 11.04 \text{ kg}$
poloha ťažiska	$r_{t0} := 2.51 \text{ mm}$
hmotnosť zalomenia redukovaná na polomer kľukového hriadeľa	$m_{red_0} := m_0 \cdot \frac{r_{t0}}{r} = 0.462 \text{ kg}$
Zotrvačná sila rotujúcich častí	$Fzr_0 := m_{red_0} \cdot r \cdot \omega^2 = 1.471 \text{ kN}$

### 4.2 Zalomenie A: minimalizácia hmotnosti pri úplnom silovom vyvážení

hmotnosť zalomenia aj s rotačným podielom ojnice	$m_A := 11.34 \text{ kg}$
poloha ťažiska	$r_{tA} := 0 \text{ mm}$
hmotnosť zalomenia redukovaná na polomer kľukového hriadeľa	$m_{red_A} := m_A \cdot \frac{r_{tA}}{r} = 0 \text{ kg}$
Zotrvačná sila rotujúcich častí	$Fzr_A := m_{red_A} \cdot r \cdot \omega^2 = 0 \text{ kN}$

### 4.3 Zalomenie B: minimalizácia hmotnosti

hmotnosť zalomenia aj s rotačným podielom ojnice	$m_B := 10.28 \text{ kg}$
poloha ťažiska	$r_{tB} := 6.64 \text{ mm}$
hmotnosť zalomenia redukovaná na polomer kľukového hriadeľa	$m_{red_B} := m_B \cdot \frac{r_{tB}}{r} = 1.138 \text{ kg}$
Zotrvačná sila rotujúcich častí	$Fzr_B := m_{red_B} \cdot r \cdot \omega^2 = 3.623 \text{ kN}$

### 4.4 Zalomenie C: kompromisný návrh

hmotnosť zalomenia aj s rotačným podielom ojnice	$m_C := 11 \text{ kg}$
poloha ťažiska	$r_{tC} := 1 \text{ mm}$
hmotnosť zalomenia redukovaná na polomer kľukového hriadeľa	$m_{red_C} := m_C \cdot \frac{r_{tC}}{r} = 0.183 \text{ kg}$
Zotrvačná sila rotujúcich častí	$Fzr_C := m_{red_C} \cdot r \cdot \omega^2 = 0.584 \text{ kN}$

#### **4.5 Zalomenie bez vývažkov**

hmotnosť zalomenia aj s rotačným podielom ojnice  $m_{bez} := 8.27 \text{ kg}$

poloha t'ažiska  $r_{tbez} := 26.7 \text{ mm}$

hmotnosť zalomenia redukovaná na polomer kľukového hriadeľa  $m_{red_{bez}} := m_{bez} \cdot \frac{r_{tbez}}{r} = 3.68 \text{ kg}$

Zotrvačná sila rotujúcich častí  $F_{zr_{bez}} := m_{red_{bez}} \cdot r \cdot \omega^2 = 11.72 \text{ kN}$

## 5 Torzné kmitanie kl'ukového hriadeľa

### 5.1 Náhradná torzná sústava kl'ukového mechanizmu

#### 5.1.1 Momenty zotrvačnosti

Moment zotrvačnosti predného konca kl'ukového hriadeľa	$J_{pk} := 9.436 \cdot 10^{-4} \text{ kg} \cdot \text{m}^2$
Moment zotrvačnosti 1. zalomenia	$J_{z1} := 0.036 \text{ kg} \cdot \text{m}^2$
Moment zotrvačnosti 2. zalomenia	$J_{z2} := 0.036 \text{ kg} \cdot \text{m}^2$
Moment zotrvačnosti 3. zalomenia	$J_{z3} := 0.036 \text{ kg} \cdot \text{m}^2$
Moment zotrvačnosti 4. zalomenia	$J_{z4} := 0.036 \text{ kg} \cdot \text{m}^2$
Moment zotrvačnosti 5. zalomenia	$J_{z5} := 0.036 \text{ kg} \cdot \text{m}^2$
Moment zotrvačnosti 6. zalomenia	$J_{z6} := 0.036 \text{ kg} \cdot \text{m}^2$
Moment zotrvačnosti zadného konca kl'ukového hriadeľa	$J_{zk} := 0.004 \text{ kg} \cdot \text{m}^2$
Moment zotrvačnosti remenice pomocných agregátov	$J_{rem} := 0.022 \text{ kg} \cdot \text{m}^2$
Moment zotrvačnosti zotrvačníku	$J_{zot} := 1.060 \text{ kg} \cdot \text{m}^2$

#### 5.1.2 Redukované momenty zotrvačnosti

Redukovaný moment zotrvačnosti rotačného podielu ojnice	$J_{oj} := m_2 \cdot r^2$
	$J_{oj} = 5.922 \text{ kg} \cdot \text{m}^2 \cdot 10^{-3}$
Redukovaný moment zotrvačnosti posuvných hmôr kl'ukového mechanizmu	$J_{ph} := (m_{ps} + m_1) \cdot \left( \frac{1}{2} + \frac{\lambda^2}{8} \right) \cdot r^2$
	$J_{ph} = 5.435 \text{ kg} \cdot \text{m}^2 \cdot 10^{-3}$
Redukovaný moment zotrvačnosti predného konca kl'ukového mechanizmu	$J_0 := J_{pk} + J_{rem}$
	$J_0 := J_0 = 22.944 \text{ kg} \cdot \text{m}^2 \cdot 10^{-3}$
Redukovaný moment zotrvačnosti 1. zalomenia	$J_1 := J_{z1} + J_{oj} + J_{ph}$
	$J_1 := J_1 = 47.357 \text{ kg} \cdot \text{m}^2 \cdot 10^{-3}$
Redukovaný moment zotrvačnosti 2. zalomenia	$J_2 := J_{z2} + J_{oj} + J_{ph}$
	$J_2 := J_2 = 47.357 \text{ kg} \cdot \text{m}^2 \cdot 10^{-3}$

Redukovaný moment zotrvačnosti 3. zalomenia

$$J_3 := J_{z3} + J_{oj} + J_{ph}$$

$$J_3 := J_3 = 47.357 \text{ kg} \cdot \text{m}^2 \cdot 10^{-3}$$

Redukovaný moment zotrvačnosti 4. zalomenia

$$J_4 := J_{z4} + J_{oj} + J_{ph}$$

$$J_4 := J_4 = 47.357 \text{ kg} \cdot \text{m}^2 \cdot 10^{-3}$$

Redukovaný moment zotrvačnosti 5. zalomenia

$$J_5 := J_{z5} + J_{oj} + J_{ph}$$

$$J_5 := J_5 = 47.357 \text{ kg} \cdot \text{m}^2 \cdot 10^{-3}$$

Redukovaný moment zotrvačnosti 6. zalomenia

$$J_6 := J_{z6} + J_{oj} + J_{ph}$$

$$J_6 := J_6 = 47.357 \text{ kg} \cdot \text{m}^2 \cdot 10^{-3}$$

Redukovaný moment zotrvačnosti zadného konca klúkového hriadeľa

$$J_7 := J_{zk} + J_{zot}$$

$$J_7 := J_7 = 1064 \text{ kg} \cdot \text{m}^2 \cdot 10^{-3}$$

### 5.1.3 Výpočet redukovaných dĺžok

Redukovaný priemer hriadeľa

$$D_r := D_{hc}$$

Dĺžka hlavného čapu

$$l_{hc} := 44 \text{ mm}$$

Dĺžka ojničného čapu

$$l_{oc} := 40 \text{ mm}$$

Hrúbka ramena klúky

$$t_r := 26 \text{ mm}$$

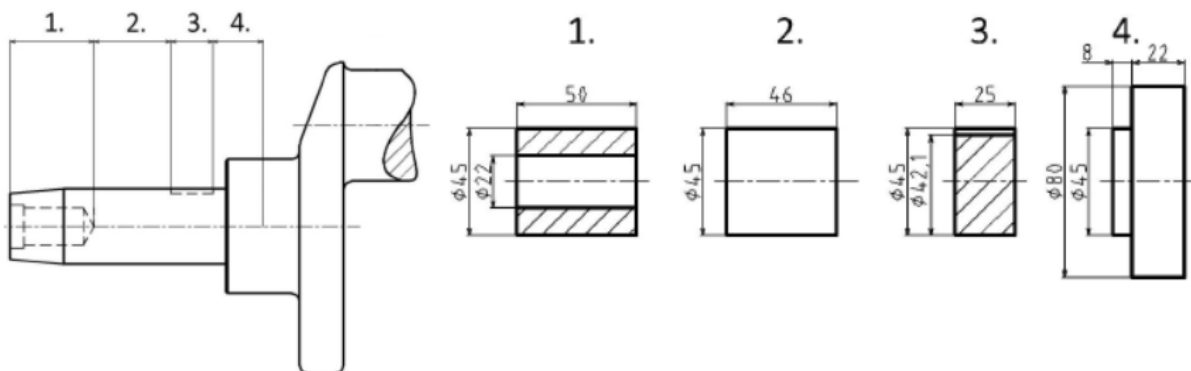
Šírka ramena klúky

$$b_r := 100 \text{ mm}$$

Redukovaná dĺžka zalomenia podľa Ker-Wilson

$$l_{red} := D_r^4 \cdot \left( \frac{l_{hc} + 0.4 \cdot D_{hc}}{D_{hc}^4} + \frac{l_{oc} + 0.4 \cdot D_{oc}}{D_{oc}^4} + \frac{r - 0.2 \cdot (D_{hc} + D_{oc})}{t_r \cdot b_r^3} \right) = 0.268 \text{ m}$$

### 5.2 Redukovaná dĺžka predného konca klúkového hriadeľa



## **Prvá časť'**

dĺžka	$l_{pk1} := 50 \text{ mm}$
vonkajší priemer	$D_{pk1} := 45 \text{ mm}$
preiemer diery	$d_{pk1} := 22 \text{ mm}$
redukovaná dĺžka	$l_{red\_pk1} := l_{pk1} \cdot \frac{D_r^4}{D_{pk1}^4 - d_{pk1}^4} = 0.53 \text{ m}$

## **Druhá časť'**

dĺžka	$l_{pk2} := 46 \text{ mm}$
vonkajší priemer	$D_{pk2} := 45 \text{ mm}$
redukovaná dĺžka	$l_{red\_pk2} := l_{pk2} \cdot \left( \frac{D_r}{D_{pk2}} \right)^4 = 0.459 \text{ m}$

## **Tretia časť'**

dĺžka	$l_{pk3} := 25 \text{ mm}$
vonkajší priemer	$D_{pk3} := 45 \text{ mm}$
redukovaná dĺžka	$l_{red\_pk3} := l_{pk3} \cdot \frac{D_r^4}{D_{pk3}^4} \cdot 1.25 = 0.312 \text{ m}$

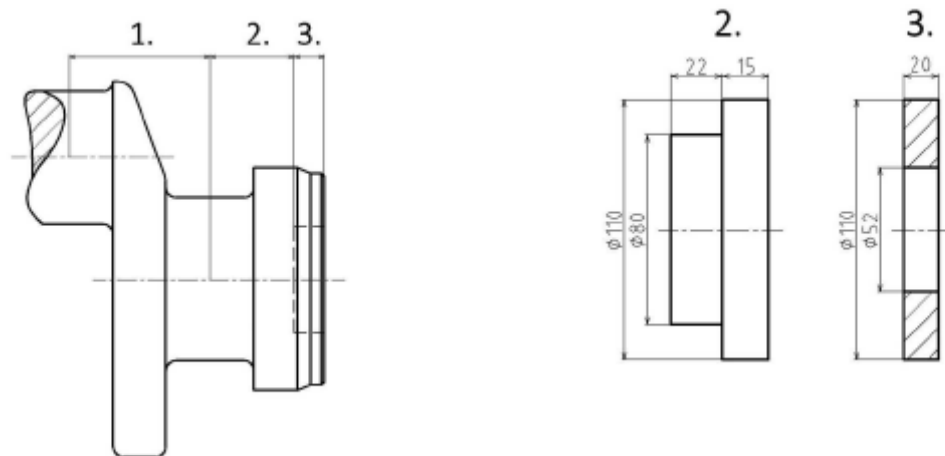
## **Štvrtá časť'**

dĺžka menšieho priemeru	$l_{pk4} := 8 \text{ mm}$
dĺžka väčšieho priemeru	$L_{pk4} := 22 \text{ mm}$
menší priemer	$d_{pk4} := 45 \text{ mm}$
väčší priemer	$D_{pk4} := 80 \text{ mm}$
tabuľková konštanta	$\xi := 0.093$
redukovaná dĺžka	$l_{red\_pk4} := (l_{pk4} + \xi \cdot d_{pk4}) \cdot \frac{D_r^4}{d_{pk4}^4} + (L_{pk4} - \xi \cdot d_{pk4}) \cdot \frac{D_r^4}{D_{pk4}^4}$ $l_{red\_pk4} = 0.14 \text{ m}$

celková redukovaná dĺžka predného konca

$$l_{pk\_red} := l_{red\_pk1} + l_{red\_pk2} + l_{red\_pk3} + l_{red\_pk4} + \frac{l_{red}}{2} = 1.575 \text{ m}$$

### 5.3 Redukovaná dĺžka zadného konca kľukového hriadeľa



#### Druhá časť'

dĺžka menšieho priemeru  $l_{zk1} := 22 \text{ mm}$

dĺžka väčšieho priemeru  $L_{zk1} := 15 \text{ mm}$

menší priemer  $d_{zk1} := 80 \text{ mm}$

väčší priemer  $D_{zk1} := 110 \text{ mm}$

tabuľková konštantă  $\xi := 0.07$

redukovaná dĺžka  $l_{red\_zk1} := (l_{zk1} + \xi \cdot d_{zk1}) \cdot \frac{D_r^4}{d_{zk1}^4} + (L_{zk1} - \xi \cdot d_{zk1}) \cdot \frac{D_r^4}{D_{zk1}^4}$

$$l_{red\_zk1} = 0.03 \text{ m}$$

#### Tretia časť'

dĺžka  $l_{zk2} := 20 \text{ mm}$

vonkajší priemer  $D_{zk2} := 110 \text{ mm}$

priemer diery  $d_{zk2} := 52 \text{ mm}$

redukovaná dĺžka  $l_{red\_zk2} := l_{zk2} \cdot \frac{D_r^4}{D_{zk2}^4 - d_{zk2}^4} = 0.006 \text{ m}$

celková redukovaná dĺžka zadného konca  $l_{zk\_red} := \frac{l_{red}}{2} + l_{red\_zk1} + l_{red\_zk2} = 170.048 \text{ mm}$

## 5.4 Výpočet torzných tuhostí

Polárny moment zotrvačnosti redukovaného hriadeľa

$$I_p := \frac{\pi \cdot D_r^4}{32} = (4.021 \cdot 10^{-6}) \text{ m}^4$$

Torzná tuhost' kl'ukového hriadeľa za remenicou

$$c_0 := \frac{G \cdot I_p}{l_{pk\_red}} = (2.062 \cdot 10^5) \text{ N} \cdot \text{m} \cdot \text{rad}^{-1}$$

Torzná tuhost' za 1. zalomením kl'ukového hriadeľa

$$c_1 := \frac{G \cdot I_p}{l_{red}} = (1.213 \cdot 10^6) \text{ N} \cdot \text{m} \cdot \text{rad}^{-1}$$

Torzná tuhost' za 2. zalomením kl'ukového hriadeľa

$$c_2 := \frac{G \cdot I_p}{l_{red}} = (1.213 \cdot 10^6) \text{ N} \cdot \text{m} \cdot \text{rad}^{-1}$$

Torzná tuhost' za 3. zalomením kl'ukového hriadeľa

$$c_3 := \frac{G \cdot I_p}{l_{red}} = (1.213 \cdot 10^6) \text{ N} \cdot \text{m} \cdot \text{rad}^{-1}$$

Torzná tuhost' za 4. zalomením kl'ukového hriadeľa

$$c_4 := \frac{G \cdot I_p}{l_{red}} = (1.213 \cdot 10^6) \text{ N} \cdot \text{m} \cdot \text{rad}^{-1}$$

Torzná tuhost' za 5. zalomením kl'ukového hriadeľa

$$c_5 := \frac{G \cdot I_p}{l_{red}} = (1.213 \cdot 10^6) \text{ N} \cdot \text{m} \cdot \text{rad}^{-1}$$

Torzná tuhost' za 6. zalomením kl'ukového hriadeľa

$$c_6 := \frac{G \cdot I_p}{l_{zk\_red}} = (1.91 \cdot 10^6) \text{ N} \cdot \text{m} \cdot \text{rad}^{-1}$$

## 5.5 Vlastné torzné kmitanie sústavy

Matica hmotnosti:

$$M := \begin{bmatrix} J_0 & 0 & 0 & 0 & 0 & 0 & 0 & 0 \\ 0 & J_1 & 0 & 0 & 0 & 0 & 0 & 0 \\ 0 & 0 & J_2 & 0 & 0 & 0 & 0 & 0 \\ 0 & 0 & 0 & J_3 & 0 & 0 & 0 & 0 \\ 0 & 0 & 0 & 0 & J_4 & 0 & 0 & 0 \\ 0 & 0 & 0 & 0 & 0 & J_5 & 0 & 0 \\ 0 & 0 & 0 & 0 & 0 & 0 & J_6 & 0 \\ 0 & 0 & 0 & 0 & 0 & 0 & 0 & J_7 \end{bmatrix}$$

Matica tuhosti:

$$C := \begin{bmatrix} c_0 & -c_0 & 0 & 0 & 0 & 0 & 0 & 0 \\ -c_0 & c_0 + c_1 & -c_1 & 0 & 0 & 0 & 0 & 0 \\ 0 & -c_1 & c_1 + c_2 & -c_2 & 0 & 0 & 0 & 0 \\ 0 & 0 & -c_2 & c_2 + c_3 & -c_3 & 0 & 0 & 0 \\ 0 & 0 & 0 & -c_3 & c_3 + c_4 & -c_4 & 0 & 0 \\ 0 & 0 & 0 & 0 & -c_4 & c_4 + c_5 & -c_5 & 0 \\ 0 & 0 & 0 & 0 & 0 & -c_5 & c_5 + c_6 & -c_6 \\ 0 & 0 & 0 & 0 & 0 & 0 & -c_6 & c_6 \end{bmatrix}$$

Modálna matica:

$$A := M^{-1} \cdot C$$

Vlastné čísla:

$$\lambda_{vc} := \text{eigenvals}(A)$$

Vektor vlastných frekvencií:

$$\Omega := \sqrt{\lambda_{vc}}$$

Vlastné tvary:

$$w := \text{eigenvecs}(A)$$

$$\lambda_{vc} = \begin{bmatrix} 9.829 \cdot 10^7 \\ 8.467 \cdot 10^7 \\ 6.282 \cdot 10^7 \\ 3.797 \cdot 10^7 \\ 1.736 \cdot 10^7 \\ 8.684 \cdot 10^6 \\ 1.718 \cdot 10^6 \\ 1.989 \cdot 10^{-10} \end{bmatrix} \frac{1}{\mathbf{s}^2}$$

$$\Omega = \begin{bmatrix} 9.914 \cdot 10^3 \\ 9.202 \cdot 10^3 \\ 7.926 \cdot 10^3 \\ 6.162 \cdot 10^3 \\ 4.167 \cdot 10^3 \\ 2.947 \cdot 10^3 \\ 1.311 \cdot 10^3 \\ 1.41 \cdot 10^{-5} \end{bmatrix} \frac{1}{\mathbf{s}}$$

$$w = \begin{bmatrix} 0.012 & 0.03 & 0.064 & -0.152 & 0.509 & -0.893 & -0.602 & 0.354 \\ -0.116 & -0.253 & -0.385 & 0.489 & -0.474 & -0.03 & -0.487 & 0.354 \\ 0.307 & 0.535 & 0.483 & -0.127 & -0.32 & 0.127 & -0.435 & 0.354 \\ -0.449 & -0.446 & 0.166 & -0.555 & 0.051 & 0.241 & -0.354 & 0.354 \\ 0.519 & 0.048 & -0.558 & -0.16 & 0.387 & 0.273 & -0.248 & 0.354 \\ -0.504 & 0.383 & 0.087 & 0.473 & 0.461 & 0.213 & -0.127 & 0.354 \\ 0.409 & -0.549 & 0.518 & 0.404 & 0.222 & 0.08 & 0.004 & 0.354 \\ -0.008 & 0.012 & -0.015 & -0.02 & -0.026 & -0.021 & 0.086 & 0.354 \end{bmatrix}$$

## 5.6 Tvary vlastných torzných výchyiek

$$i := 0 \dots 7$$

### 5.6.1 Prvá vlastná frekvencia

Pomerné výchylky:

$$y_{1_i} := \frac{w_{i, 6}}{w_{0, 6}} = \begin{bmatrix} 1 \\ 0.809 \\ 0.722 \\ 0.587 \\ 0.412 \\ 0.21 \\ -0.006 \\ -0.143 \end{bmatrix}$$

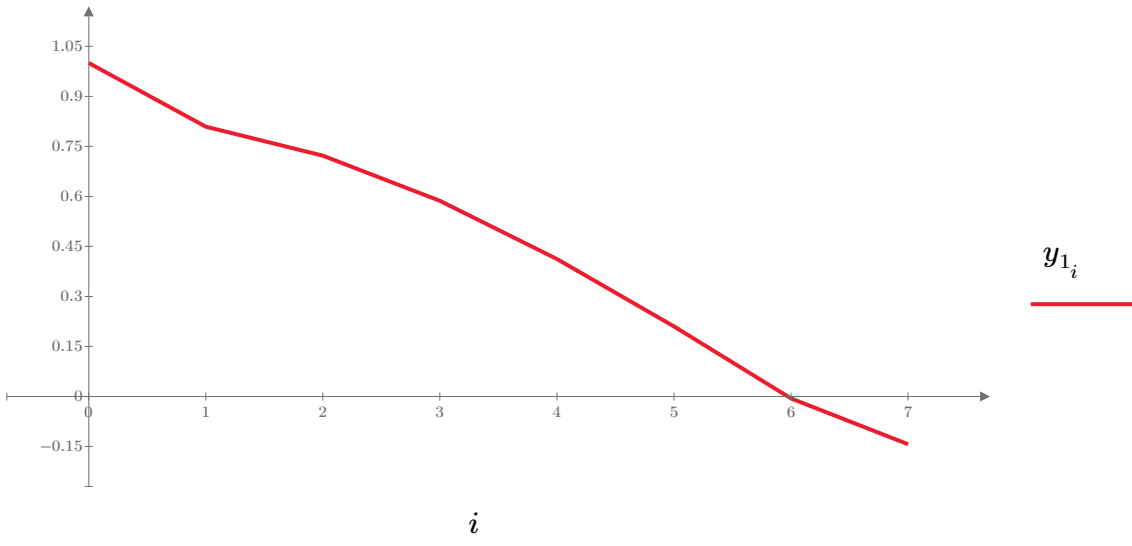
Vlastná uhlová frekvencia

$$\Omega_6 = (1.311 \cdot 10^3) \frac{\text{rad}}{\mathbf{s}}$$

Vlastná frekvencia

$$N_1 := \frac{\Omega_6}{2 \cdot \pi} = 208.581 \frac{1}{\mathbf{s}}$$

## Tvar prvej vlastnej frekvencie



### 5.6.2 Druhá vlastná frekvencia

Pomerné výchylky:

$$y_{2_i} := \frac{w_{i,5}}{w_{0,5}} = \begin{bmatrix} 1 \\ 0.034 \\ -0.142 \\ -0.27 \\ -0.306 \\ -0.238 \\ -0.09 \\ 0.023 \end{bmatrix}$$

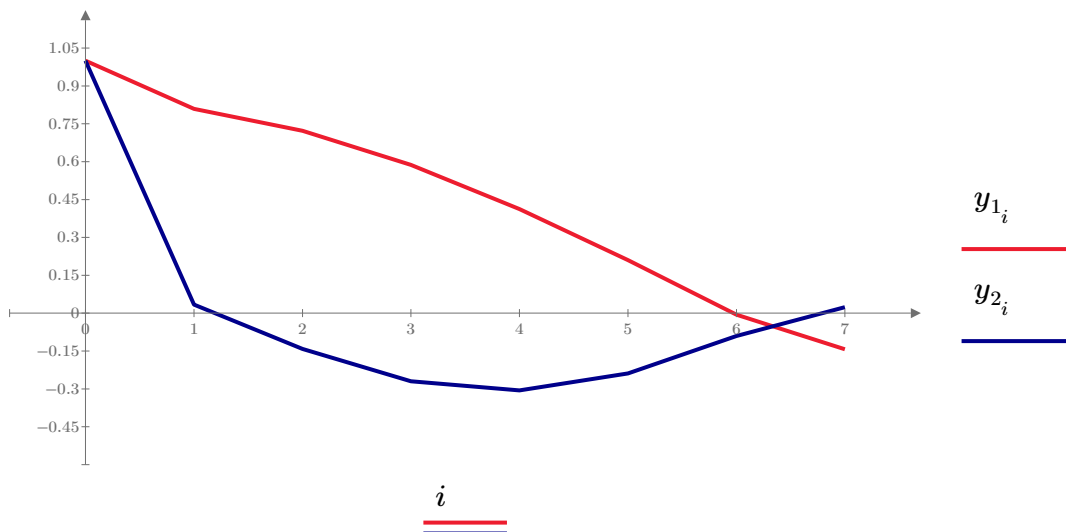
Vlastná uhlová frekvencia

$$\Omega_5 = (2.947 \cdot 10^3) \frac{\text{rad}}{\text{s}}$$

Vlastná frekvencia

$$N_2 := \frac{\Omega_5}{2 \cdot \pi} = 469.01 \frac{1}{\text{s}}$$

### Tvar druhej vlastnej frekvencie



## 5.7 Vynútené torzné kmitanie

### 5.7.1 Fourierova analýza točivého momentu v komplexnom obore

$$n_p := 720$$

$$k := 0 \dots 24$$

$$\kappa_k := 0.5 \cdot k$$

$$i := 1i \quad (\text{imaginárna jednotka})$$

$$\text{Fourierova transformácia točivého momentu} \quad h_k := \frac{2}{n_p} \cdot \left( \sum_{j=0}^{n_p-1} M_{t_j} \cdot e^{i \cdot \left( k \cdot 2 \cdot \pi \cdot \frac{j}{n_p} \right)} \right)$$

Reálna zložka

$$R_{h_k} := \operatorname{Re}(h_k)$$

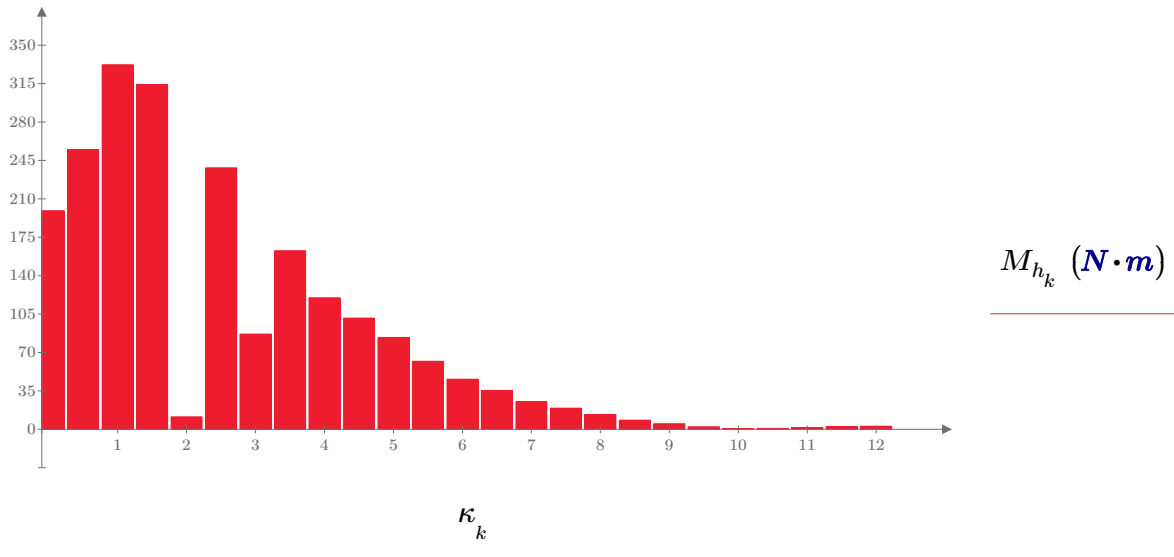
Imaginárna zložka

$$I_{h_k} := \operatorname{Im}(h_k)$$

Amplitúda točivého momentu k-tej  
harmonickej zložky

$$M_{h_k} := |h_k|$$

$\kappa_k =$	$R_{h_k} =$	$N \cdot m$	$I_{h_k} =$	$N \cdot m$	$M_{h_k} =$	$N \cdot m$
0	199.197		0		199.197	
0.5	-185.805		-174.4		254.831	
1	105.223		315.146		332.249	
1.5	-31.265		-312.536		314.096	
2	-10.555		-4.096		11.322	
2.5	38.354		-235.215		238.321	
3	-41.999		75.88		86.728	
3.5	54.187		-153.372		162.663	
4	-53.281		107.403		119.892	
4.5	48.268		-89.105		101.338	
5	-46.253		69.768		83.708	
5.5	38.188		-48.86		62.013	
6	-30.115		34.336		45.672	
6.5	25.629		-24.428		35.405	
7	-19.078		16.571		25.27	
7.5	15.537		-11.253		19.184	
8	-11.215		7.529		13.508	
8.5	7.451		-3.702		8.32	
9	-4.508		2.261		5.043	
9.5	2.325		-0.333		2.349	
10	-0.649		0.336		0.731	
10.5	-0.669		0.577		0.883	
11	1.521		0.619		1.642	
11.5	-2.249		-0.989		2.457	
12	2.705		-0.051		2.706	



## 5.8 Rezonančné otáčky motora

$$k := 1, 2 \dots 24 \quad \kappa_k := 0.5 \cdot k$$

Rezonančné otáčky pre 1. vlastnú frekvenciu

$$n_{1rez_k} := \frac{N_1}{\kappa_k}$$

Rezonančné otáčky pre 2. vlastnú frekvenciu

$$n_{2rez_k} := \frac{N_2}{\kappa_k}$$

$\kappa_k =$	$[0.5 \ 1 \ 1.5 \ 2 \ 2.5 \ 3 \ 3.5 \ 4 \ 4.5 \ 5 \ 5.5 \ 6 \ 6.5 \ 7 \ 7.5 \ 8 \ 8.5 \ 9 \ 9.5 \ 10 \ 10.5 \ 11 \ 11.5 \ 12]$	$n_{1rez_k} =$	$[25030 \ 12515 \ 8343 \ 6257 \ 5006 \ 4172 \ 3576 \ 3129 \ 2781 \ 2503 \ 2275 \ 2086 \ 1925 \ 1788 \ 1669 \ 1564 \ 1472 \ 1391 \ 1317 \ 1251 \ 1192 \ 1138 \ 1088 \ 1043]$	$\frac{1}{min}$	$n_{2rez_k} =$	$[56281 \ 28141 \ 18760 \ 14070 \ 11256 \ 9380 \ 8040 \ 7035 \ 6253 \ 5628 \ 5116 \ 4690 \ 4329 \ 4020 \ 3752 \ 3518 \ 3311 \ 3127 \ 2962 \ 2814 \ 2680 \ 2558 \ 2447 \ 2345]$	$\frac{1}{min}$
--------------	--	----------------	---	-----------------	----------------	--	-----------------

## 5.9 Výdatnosť rezonancí pre prvú vlastnú frekvenciu

$$k := 0 \dots 24$$

$$\kappa_k := 0.5 \cdot k$$

rozostupy medzi vznieteniami jednotlivých valcov  
(prvý člen nemá význam, je vložený pre potreby výpočtov)

$$\nu := \begin{bmatrix} 0 \\ 0 \\ 480 \\ 240 \\ 600 \\ 120 \\ 360 \end{bmatrix} \cdot \text{deg}$$

$$\varepsilon_1 := \sqrt{\left( \sum_{io=1}^6 y_{1_{io}} \cdot \sin(\kappa_1 \cdot \nu_{io}) \right)^2 + \left( \sum_{io=1}^6 y_{1_{io}} \cdot \cos(\kappa_1 \cdot \nu_{io}) \right)^2}$$

Výdatnosť rezonancie pre rády  $\varepsilon_1 = 0.555$   
 $\kappa = 0.5; 3.5; 6.5; 9.5;$

$$\varepsilon_2 := \sqrt{\left( \sum_{io=1}^6 y_{1_{io}} \cdot \sin(\kappa_2 \cdot \nu_{io}) \right)^2 + \left( \sum_{io=1}^6 y_{1_{io}} \cdot \cos(\kappa_2 \cdot \nu_{io}) \right)^2}$$

Výdatnosť rezonancie pre rády  $\varepsilon_2 = 0.173$   
 $\kappa = 1; 4; 7; 10;$

$$\varepsilon_3 := \sqrt{\left( \sum_{io=1}^6 y_{1_{io}} \cdot \sin(\kappa_3 \cdot \nu_{io}) \right)^2 + \left( \sum_{io=1}^6 y_{1_{io}} \cdot \cos(\kappa_3 \cdot \nu_{io}) \right)^2}$$

Výdatnosť rezonancie pre rády  $\varepsilon_3 = 1.502$   
 $\kappa = 1.5; 4.5; 7.5; 10.5;$

$$\varepsilon_4 := \sqrt{\left( \sum_{io=1}^6 y_{1_{io}} \cdot \sin(\kappa_4 \cdot \nu_{io}) \right)^2 + \left( \sum_{io=1}^6 y_{1_{io}} \cdot \cos(\kappa_4 \cdot \nu_{io}) \right)^2}$$

Výdatnosť rezonancie pre rády  $\varepsilon_4 = 0.173$   
 $\kappa = 2; 5; 8; 11;$

$$\varepsilon_5 := \sqrt{\left( \sum_{io=1}^6 y_{1_{io}} \cdot \sin(\kappa_5 \cdot \nu_{io}) \right)^2 + \left( \sum_{io=1}^6 y_{1_{io}} \cdot \cos(\kappa_5 \cdot \nu_{io}) \right)^2}$$

Výdatnosť rezonancie pre rády  $\varepsilon_5 = 0.555$   
 $\kappa = 2.5; 5.5; 8.5; 11.5;$

$$\varepsilon_6 := \sqrt{\left( \sum_{io=1}^6 y_{1_{io}} \cdot \sin(\kappa_6 \cdot \nu_{io}) \right)^2 + \left( \sum_{io=1}^6 y_{1_{io}} \cdot \cos(\kappa_6 \cdot \nu_{io}) \right)^2}$$

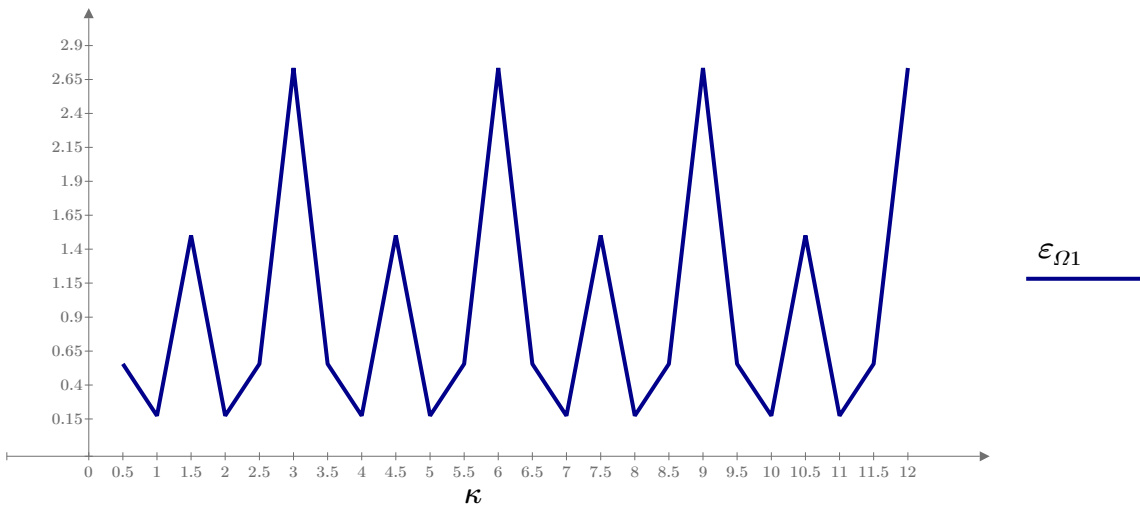
Výdatnosť rezonancie pre rády  
 $\kappa = 3; 6; 9; 12;$

$$\varepsilon_6 = 2.734$$

$$j := 0 \dots 23$$

$$\kappa_j := j \cdot 0.5 + 0.5$$

$$\varepsilon_{\Omega 1} := \begin{bmatrix} \varepsilon_1 \\ \varepsilon_2 \\ \varepsilon_3 \\ \varepsilon_4 \\ \varepsilon_5 \\ \varepsilon_6 \\ \varepsilon_1 \\ \varepsilon_2 \\ \varepsilon_3 \\ \varepsilon_4 \\ \varepsilon_5 \\ \varepsilon_6 \\ \varepsilon_1 \\ \varepsilon_2 \\ \varepsilon_3 \\ \varepsilon_4 \\ \varepsilon_5 \\ \varepsilon_6 \\ \varepsilon_1 \\ \varepsilon_2 \\ \varepsilon_3 \\ \varepsilon_4 \\ \varepsilon_5 \\ \varepsilon_6 \end{bmatrix}$$



## 5.10 Výdatnosť rezonancí pre druhú vlastnú frekvenciu

$$k := 0 \dots 24$$

$$\kappa_k := 0.5 \cdot k$$

rozostupy medzi vznieteniami jednotlivých valcov  
(prvý člen nemá význam, je vložený pre potreby výpočtov)

$$\nu := \begin{bmatrix} 0 \\ 0 \\ 480 \\ 240 \\ 600 \\ 120 \\ 360 \end{bmatrix} \cdot \text{deg}$$

$$\varepsilon'_1 := \sqrt{\left( \sum_{io=1}^6 y_{2,io} \cdot \sin(\kappa_1 \cdot \nu_{io}) \right)^2 + \left( \sum_{io=1}^6 y_{2,io} \cdot \cos(\kappa_1 \cdot \nu_{io}) \right)^2}$$

Výdatnosť rezonancie pre rády  $\varepsilon'_1 = 0.078$   
 $\kappa = 0.5; 3.5; 6.5; 9.5;$

$$\varepsilon'_2 := \sqrt{\left( \sum_{io=1}^6 y_{2,io} \cdot \sin(\kappa_2 \cdot \nu_{io}) \right)^2 + \left( \sum_{io=1}^6 y_{2,io} \cdot \cos(\kappa_2 \cdot \nu_{io}) \right)^2}$$

Výdatnosť rezonancie pre rády  $\varepsilon'_2 = 0.454$   
 $\kappa = 1; 4; 7; 10;$

$$\varepsilon'_3 := \sqrt{\left( \sum_{io=1}^6 y_{2,io} \cdot \sin(\kappa_3 \cdot \nu_{io}) \right)^2 + \left( \sum_{io=1}^6 y_{2,io} \cdot \cos(\kappa_3 \cdot \nu_{io}) \right)^2}$$

Výdatnosť rezonancie pre rády  $\varepsilon'_3 = 0.257$   
 $\kappa = 1.5; 4.5; 7.5; 10.5;$

$$\varepsilon'_4 := \sqrt{\left( \sum_{io=1}^6 y_{2,io} \cdot \sin(\kappa_4 \cdot \nu_{io}) \right)^2 + \left( \sum_{io=1}^6 y_{2,io} \cdot \cos(\kappa_4 \cdot \nu_{io}) \right)^2}$$

Výdatnosť rezonancie pre rády  $\varepsilon'_4 = 0.454$   
 $\kappa = 2; 5; 8; 11;$

$$\varepsilon'_5 := \sqrt{\left( \sum_{io=1}^6 y_{2,io} \cdot \sin(\kappa_5 \cdot \nu_{io}) \right)^2 + \left( \sum_{io=1}^6 y_{2,io} \cdot \cos(\kappa_5 \cdot \nu_{io}) \right)^2}$$

Výdatnosť rezonancie pre rády  $\varepsilon'_5 = 0.078$   
 $\kappa = 2.5; 5.5; 8.5; 11.5;$

$$\varepsilon'_6 := \sqrt{\left( \sum_{io=1}^6 y_{2,io} \cdot \sin(\kappa_6 \cdot \nu_{io}) \right)^2 + \left( \sum_{io=1}^6 y_{2,io} \cdot \cos(\kappa_6 \cdot \nu_{io}) \right)^2}$$

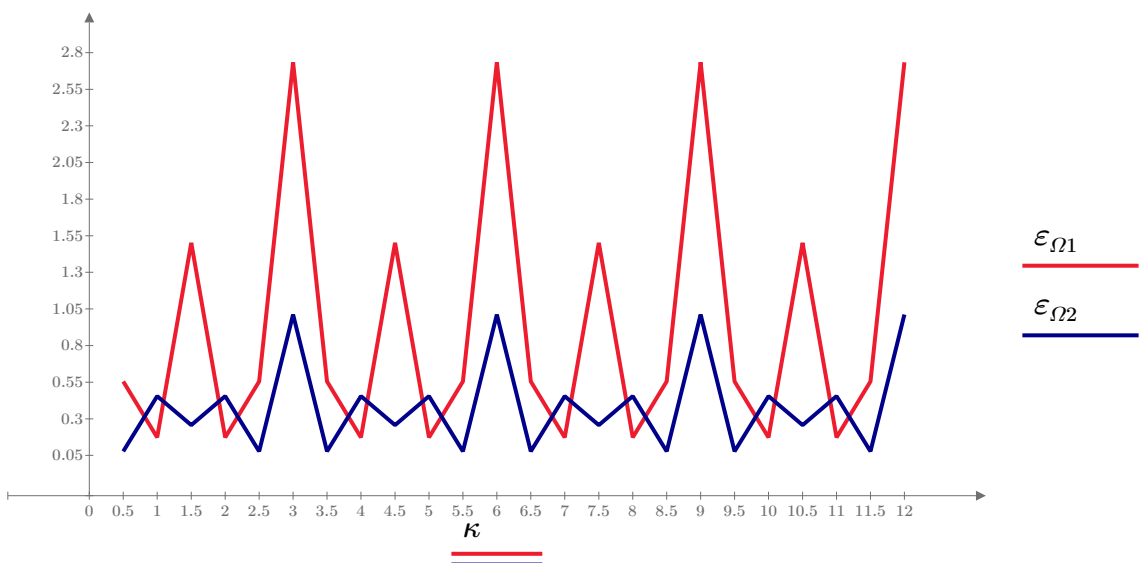
Výdatnosť rezonancie pre rády  
 $\kappa = 3; 6; 9; 12;$

$$\varepsilon'_6 = 1.012$$

$$j := 0 \dots 23$$

$$\kappa_j := j \cdot 0.5 + 0.5$$

$$\varepsilon_{\Omega 2} := \begin{bmatrix} \varepsilon'_1 \\ \varepsilon'_2 \\ \varepsilon'_3 \\ \varepsilon'_4 \\ \varepsilon'_5 \\ \varepsilon'_6 \\ \varepsilon'_1 \\ \varepsilon'_2 \\ \varepsilon'_3 \\ \varepsilon'_4 \\ \varepsilon'_5 \\ \varepsilon'_6 \\ \varepsilon'_1 \\ \varepsilon'_2 \\ \varepsilon'_3 \\ \varepsilon'_4 \\ \varepsilon'_5 \\ \varepsilon'_6 \\ \varepsilon'_1 \\ \varepsilon'_2 \\ \varepsilon'_3 \\ \varepsilon'_4 \\ \varepsilon'_5 \\ \varepsilon'_6 \end{bmatrix}$$



## 6 Tlmič torzných kmitov

### 6.1 Návrh parametrov torzného tlmiča

Moment zotrvačnosti tlmiča (získaný iteračne)

$$J_{tl} := 0.03 \text{ kg} \cdot \text{m}^2$$

Efektívny moment zotrvačnosti sústavy bez tlmiča

$$J_{ef} := \sum_{i=0}^7 J_i \cdot (y_{1i})^2 = 0.127 \text{ kg} \cdot \text{m}^2$$

Pomerná veľkosť tlmiča

$$\mu_{tl} := \frac{J_{tl}}{J_{ef}} = 0.236$$

Optimálne ladenie tlmiča

$$w_{tl} := \frac{1}{1 + \mu_{tl}} = 0.809$$

Vlastná frekvencia tlmiča

$$N_{tl} := w_{tl} \cdot N_1 = 168.708 \text{ Hz}$$

$$\Omega_{tlm} := N_{tl} \cdot 2 \cdot \pi = (1.06 \cdot 10^3) \frac{\text{rad}}{\text{s}}$$

Tuhosť tlmiča

$$c_{tl} := J_{tl} \cdot \Omega_{tlm}^2 = (3.371 \cdot 10^4) \text{ N} \cdot \text{m} \cdot \text{rad}^{-1}$$

### 6.2 Výpočet vlastnej frekvencie sústavy s tlmičom torzných kmitov

Matica hmotnosti:

$$M_{tl} := \begin{bmatrix} J_{tl} & 0 & 0 & 0 & 0 & 0 & 0 & 0 & 0 \\ 0 & J_0 & 0 & 0 & 0 & 0 & 0 & 0 & 0 \\ 0 & 0 & J_1 & 0 & 0 & 0 & 0 & 0 & 0 \\ 0 & 0 & 0 & J_2 & 0 & 0 & 0 & 0 & 0 \\ 0 & 0 & 0 & 0 & J_3 & 0 & 0 & 0 & 0 \\ 0 & 0 & 0 & 0 & 0 & J_4 & 0 & 0 & 0 \\ 0 & 0 & 0 & 0 & 0 & 0 & J_5 & 0 & 0 \\ 0 & 0 & 0 & 0 & 0 & 0 & 0 & J_6 & 0 \\ 0 & 0 & 0 & 0 & 0 & 0 & 0 & 0 & J_7 \end{bmatrix}$$

Matica tuhosti:

$$C_{tl} := \begin{bmatrix} c_{tl} & -c_{tl} & 0 & 0 & 0 & 0 & 0 & 0 & 0 \\ -c_{tl} & c_{tl} + c_0 & -c_0 & 0 & 0 & 0 & 0 & 0 & 0 \\ 0 & -c_0 & c_0 + c_1 & -c_1 & 0 & 0 & 0 & 0 & 0 \\ 0 & 0 & -c_1 & c_1 + c_2 & -c_2 & 0 & 0 & 0 & 0 \\ 0 & 0 & 0 & -c_2 & c_2 + c_3 & -c_3 & 0 & 0 & 0 \\ 0 & 0 & 0 & 0 & -c_3 & c_3 + c_4 & -c_4 & 0 & 0 \\ 0 & 0 & 0 & 0 & 0 & -c_4 & c_4 + c_5 & -c_5 & 0 \\ 0 & 0 & 0 & 0 & 0 & 0 & -c_5 & c_5 + c_6 & -c_6 \\ 0 & 0 & 0 & 0 & 0 & 0 & 0 & -c_6 & c_6 \end{bmatrix}$$

Modálna matica:

$$A_{tl} := M_{tl}^{-1} \cdot C_{tl}$$

Vlastné číslo:

$$\lambda_{vc\_tl} := \text{eigenvals}(A_{tl})$$

Vektor vlastných frekvencií:

$$\Omega_{tl} := \sqrt{\lambda_{vc\_tl}}$$

Vlastné tvary:

$$w_{tl} := \text{eigenvecs}(A_{tl})$$

$$\lambda_{vc\_tl} = \begin{bmatrix} 98286468.727 \\ 84672603.438 \\ 62821050.436 \\ 37992196.778 \\ 17620549.389 \\ 9766486.51 \\ 2143297.589 \\ 805794.003 \\ 0 \end{bmatrix} \frac{1}{s^2}$$

$$\Omega_{tl} = \begin{bmatrix} 9913.953 \\ 9201.772 \\ 7925.973 \\ 6163.781 \\ 4197.684 \\ 3125.138 \\ 1464.001 \\ 897.66 \\ 0 \end{bmatrix} \frac{1}{s}$$

$$w_{tl} = \begin{bmatrix} 0 & 0 & -0.001 & 0.005 & -0.039 & 0.116 & -0.457 & -0.943 & -0.333 \\ 0.012 & -0.031 & 0.066 & -0.16 & 0.572 & -0.889 & 0.415 & -0.267 & -0.333 \\ -0.116 & 0.253 & -0.385 & 0.489 & -0.449 & -0.087 & 0.458 & -0.132 & -0.333 \\ 0.307 & -0.535 & 0.482 & -0.126 & -0.314 & 0.082 & 0.428 & -0.105 & -0.333 \\ -0.449 & 0.446 & 0.166 & -0.554 & 0.038 & 0.221 & 0.361 & -0.075 & -0.333 \\ 0.519 & -0.048 & -0.558 & -0.16 & 0.363 & 0.275 & 0.264 & -0.042 & -0.333 \\ -0.504 & -0.383 & 0.087 & 0.472 & 0.439 & 0.224 & 0.145 & -0.008 & -0.333 \\ 0.409 & 0.549 & 0.518 & 0.404 & 0.212 & 0.088 & 0.014 & 0.026 & -0.333 \\ -0.008 & -0.012 & -0.015 & -0.02 & -0.024 & -0.02 & -0.07 & 0.047 & -0.333 \end{bmatrix}$$

### 6.3 Tvary vlastných torzných výchyiek

$$i := 0 \dots 8$$

#### 6.3.1 Prvá vlastná frekvencia

Pomerné výchylky:

$$y_{1tl_i} := \frac{w_{tl_{i,7}}}{w_{tl_{0,7}}} = \begin{bmatrix} 1 \\ 0.283 \\ 0.14 \\ 0.112 \\ 0.079 \\ 0.045 \\ 0.009 \\ -0.028 \\ -0.05 \end{bmatrix}$$

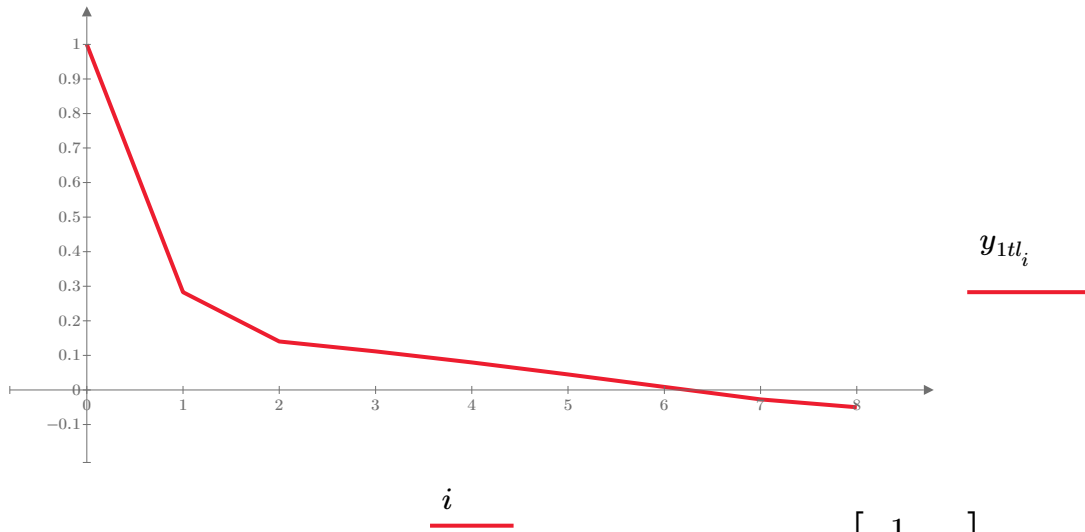
Vlastná uhlová frekvencia

$$\Omega_{tl_7} = 897.66 \frac{\text{rad}}{\text{s}}$$

Vlastná frekvencia

$$N_{1tl} := \frac{\Omega_{tl_7}}{2 \cdot \pi} = 142.867 \frac{1}{\text{s}}$$

## Tvar prvej vlastnej frekvencie



### 6.3.2 Druhá vlastná frekvencia

Pomerné výchylky:

$$y_{2t_{l_i}} := \frac{w_{t_{l_i}, 6}}{w_{t_{l_0}, 6}} = \begin{bmatrix} 1 \\ -0.907 \\ -1.003 \\ -0.935 \\ -0.789 \\ -0.577 \\ -0.317 \\ -0.03 \\ 0.154 \end{bmatrix}$$

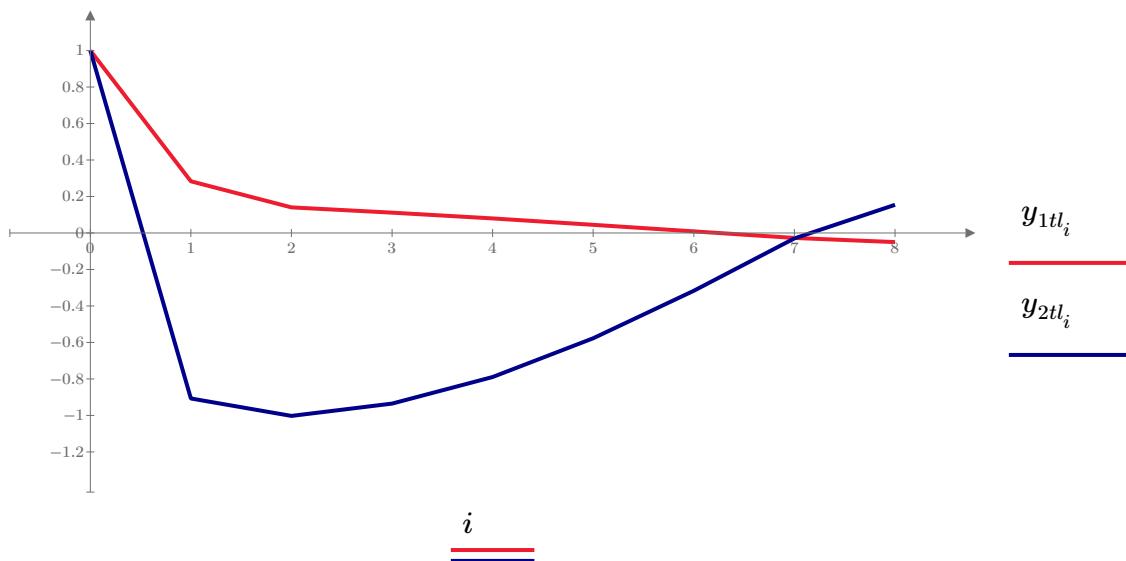
Vlastná uhlová frekvencia

$$\Omega_{t_{l_6}} = (1.464 \cdot 10^3) \frac{\text{rad}}{\text{s}}$$

Vlastná frekvencia

$$N_{2t_{l_6}} := \frac{\Omega_{t_{l_6}}}{2 \cdot \pi} = 233.003 \frac{1}{\text{s}}$$

## Tvar druhej vlastnej frekvencie



## 6.4 Rezonančné otáčky motora

$$k := 1, 2 \dots 24 \quad \kappa_k := 0.5 \cdot k$$

Rezonančné otáčky pre 1. vlastnú frekvenciu

$$n_{1rez\_tl_k} := \frac{N_{1tl}}{\kappa_k}$$

Rezonančné otáčky pre 2. vlastnú frekvenciu

$$n_{2rez\_tl_k} := \frac{N_{2tl}}{\kappa_k}$$

$\kappa_k =$	$n_{1rez\_tl_k} =$	$\frac{1}{\text{min}}$	$n_{2rez\_tl_k} =$	$\frac{1}{\text{min}}$
0.5	17144		27960	
1	8572		13980	
1.5	5715		9320	
2	4286		6990	
2.5	3429		5592	
3	2857		4660	
3.5	2449		3994	
4	2143		3495	
4.5	1905		3107	
5	1714		2796	
5.5	1559		2542	
6	1429		2330	
6.5	1319		2151	
7	1225		1997	
7.5	1143		1864	
8	1072		1748	
8.5	1008		1645	
9	952		1553	
9.5	902		1472	
10	857		1398	
10.5	816		1331	
11	779		1271	
11.5	745		1216	
12	714		1165	

## 7 Pevnostná kontrola kl'ukového hriadeľa

max. sila od tlaku plynov

$$F_{pmax} = 75.03 \text{ kN}$$

ložisková vôľa

$$c_l := 0.1 \text{ mm}$$

Výpočet tuhosti prvku Spring-damper 14

$$k_s := \frac{0.5 \cdot F_{pmax}}{0.8 \cdot c_l} = (4.689 \cdot 10^5) \frac{\text{N}}{\text{mm}}$$

### 7.1 Vlastnosti materiálu 42CrMo4

Medza klzu

$$R_e := 900 \text{ MPa}$$

Medza pevnosti v tahu

$$R_m := 1100 \text{ MPa}$$

Medza únavy v tahu (stried. sym. cyklus)

$$\sigma_{c\ddot{t}AH} := 440 \text{ MPa}$$

Medza únavy na ohyb (stried. sym. cyklus)

$$\sigma_{cOHYB} := 550 \text{ MPa}$$

Medza únavy v šmyku (stried. sym. cyklus)

$$\sigma_{c\check{S}MYK} := 330 \text{ MPa}$$

## 7.2 Výpočet bezpečnosti voči únavovému poškodeniu pre chod motora na 6V

### Chod na 6 valcov - zatážovací stav A

Maximálna hodnota lokálneho napäťia na povrchu

$$\sigma_{eXA\_6V} := 298.18 \text{ MPa}$$

Napätie vo vzdialenosťi  $xx_1$  pod povrhom prvku

$$\sigma_{eX1A\_6V} := 127.55 \text{ MPa}$$

Vzdialosť krajných uzlov prvku

$$xx_1 := 2.88 \text{ mm}$$

### Chod na 6 valcov - zatážovací stav B

Maximálna hodnota lokálneho napäťia na povrchu

$$\sigma_{eXB\_6V} := 115.59 \text{ MPa}$$

### 7.2.1 Stanovenie veličín potrebných pre výpočet bezpečnosti pre chod na 6V

Pomerný gradient napäťia pre 6V  $\chi_{R\_6V} := \frac{1}{\sigma_{eXA\_6V}} \cdot \left( \frac{\sigma_{eXA\_6V} - \sigma_{eX1A\_6V}}{xx_1} \right) = 0.199 \text{ mm}^{-1}$

Priemer skúšobnej vzorky

$$d_{vzorka} := 7.5 \text{ mm}$$

Korekčný súčinitel' pre 6V

$$f_{G\_6V} := 1 + \frac{\frac{\sigma_{cOHYB}}{\sigma_{c\ddot{t}AH}} - 1}{\frac{2}{d_{vzorka}}} \cdot \chi_{R\_6V} = 1.186$$

Pomer súčinitel'a vrubu a koncentrácie napäťa pre 6V (označenie  $\beta\alpha_{6V}$ )

$$\beta\alpha_{6V} := 1 + \sqrt{\chi_{R\_6V} \cdot \text{mm}} \cdot 10^{-\left(0.35 + \frac{R_e}{810 \cdot \text{MPa}}\right)}$$

$$\beta\alpha_{6V} = 1.015$$

Maximálne ekvivalentné napätie pre 6V

$$\sigma_{emax\_6V} := \sigma_{eXA\_6V} = 298.18 \text{ MPa}$$

Minimálne ekvivalentné napätie pre 6V

$$\sigma_{emin\_6V} := \sigma_{eXB\_6V} = 115.59 \text{ MPa}$$

Amplitúda ekvivalentného napäťa pre 6V

$$\sigma_{ea\_6V} := \frac{\sigma_{emax\_6V} - \sigma_{emin\_6V}}{2}$$

$$\sigma_{ea\_6V} = 91.295 \text{ MPa}$$

Stredná hodnota ekvivalentného napäťa pre 6V

$$\sigma_{em\_6V} := \frac{\sigma_{emax\_6V} + \sigma_{emin\_6V}}{2}$$

$$\sigma_{em\_6V} = 206.885 \text{ MPa}$$

Preimer ojničného čapu v mm

$$D_{oc} := 66$$

Súčinitel' vplyvu veľkosti súčasti

$$\eta_\sigma := 1.189 \cdot D_{oc}^{-0.097} = 0.792$$

Súčinitel' vplyvu pravdepodobnosti prežitia

$$v_\sigma := 0.753$$

## 7.2.2 Súčinitel' bezpečnosti pre chod motora na 6V

$$k_{6V} := \frac{1}{\beta\alpha_{6V} \cdot \frac{\sigma_{ea\_6V}}{\sigma_{cOHYB} \cdot \eta_\sigma \cdot v_\sigma \cdot f_{G\_6V}} + \frac{\sigma_{em\_6V}}{R_m}} = 2.346$$

**Výpočet bezpečnosti pre povrchovo kalené rádiusy**  $k_{k\_6V} := 1.3 \cdot k_{6V} = 3.049$

## 7.3 Výpočet bezpečnosti voči únavovému poškodeniu pre chod motora na 4V

### Chod na 4 valce - zat'ažovací stav A

Maximálna hodnota lokálneho napäťa na povrchu

$$\sigma_{eXA\_4V} := 288.82 \text{ MPa}$$

Napätie vo vzdialenosťi  $xx_1$  pod povrhom prvku

$$\sigma_{eX1A\_4V} := 120.45 \text{ MPa}$$

Vzdialenosť krajných uzlov prvku

$$xx_2 := 2.88 \text{ mm}$$

### Chod na 4 valce - zat'ažovací stav B

Maximálna hodnota lokálneho napäťa na povrchu

$$\sigma_{eXB\_4V} := 122.53 \text{ MPa}$$

### 7.3.1 Stanovenie veličín potrebných pre výpočet bezpečnosti pre chod na 4V

Pomerný gradient napäťia pre 6V  $\chi_{R\_4V} := \frac{1}{\sigma_{eXA\_4V}} \cdot \left( \frac{\sigma_{eXA\_4V} - \sigma_{eX1A\_4V}}{xx_2} \right) = 0.202 \text{ mm}^{-1}$

Priemer skúšobnej vzorky

$$d_{vzorka} := 7.5 \text{ mm}$$

Korekčný súčinatel' pre 6V

$$f_{G\_4V} := 1 + \frac{\frac{\sigma_{cOHYB}}{\sigma_{c\check{A}H}} - 1}{\frac{2}{d_{vzorka}}} \cdot \chi_{R\_4V} = 1.19$$

Pomer súčinatel'a vrubu a koncentrácie napäťia pre 6V (označenie  $\beta\alpha_{6V}$ )

$$\beta\alpha_{4V} := 1 + \sqrt{\chi_{R\_4V} \cdot \text{mm}} \cdot 10^{-\left(0.35 + \frac{R_e}{810 \cdot \text{MPa}}\right)}$$

$$\beta\alpha_{4V} = 1.016$$

Maximálne ekvivalentné napätie pre 6V

$$\sigma_{emax\_4V} := \sigma_{eXA\_4V} = 288.82 \text{ MPa}$$

Minimálne ekvivalentné napätie pre 6V

$$\sigma_{emin\_4V} := \sigma_{eXB\_4V} = 122.53 \text{ MPa}$$

Amplitúda ekvivalentného napäťia pre 6V

$$\sigma_{ea\_4V} := \frac{\sigma_{emax\_4V} - \sigma_{emin\_4V}}{2}$$

$$\sigma_{ea\_4V} = 83.145 \text{ MPa}$$

Stredná hodnota ekvivalentného napäťia pre 6V

$$\sigma_{em\_4V} := \frac{\sigma_{emax\_4V} + \sigma_{emin\_4V}}{2}$$

$$\sigma_{em\_4V} = 205.675 \text{ MPa}$$

Priemer ojničného čapu v mm

$$D_{oc} := 66$$

Súčinatel' vplyvu veľkosti súčasti

$$\eta_\sigma := 1.189 \cdot D_{oc}^{-0.097} = 0.792$$

Súčinatel' vplyvu pravdepodobnosti prežitia

$$v_\sigma := 0.753$$

### 7.3.2 Súčinatel' bezpečnosti pre chod motora na 4V

$$k_{4V} := \frac{1}{\beta\alpha_{4V} \cdot \frac{\sigma_{ea\_4V}}{\sigma_{cOHYB} \cdot \eta_\sigma \cdot v_\sigma \cdot f_{G\_4V}} + \frac{\sigma_{em\_4V}}{R_m}} = 2.479$$

**Výpočet bezpečnosti pre povrchovo kalené rádiusy**  $k_{k\_4V} := 1.3 \cdot k_{4V} = 3.223$